

Foglio 69 Asinara



Responsabile del Foglio:
Giovanni De Falco

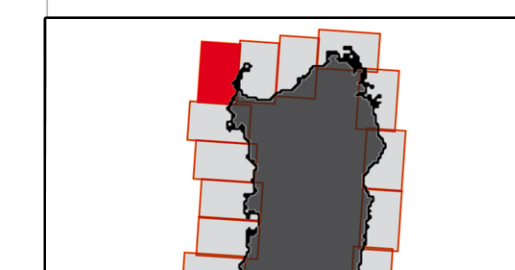
Ente Realizzatore: CNR-IAMC

Responsabile del Progetto:
Francesco L. Chiochi



Interpretazione:
Giovanni De Falco (resp.),
Francesca Budillon,
Alessandro Conforti,
Renato Tonelli.

Acquisizione ed elaborazione dati:
Renato Tonelli (resp.),
Gabriella Di Marfino, Sara Iannangi.

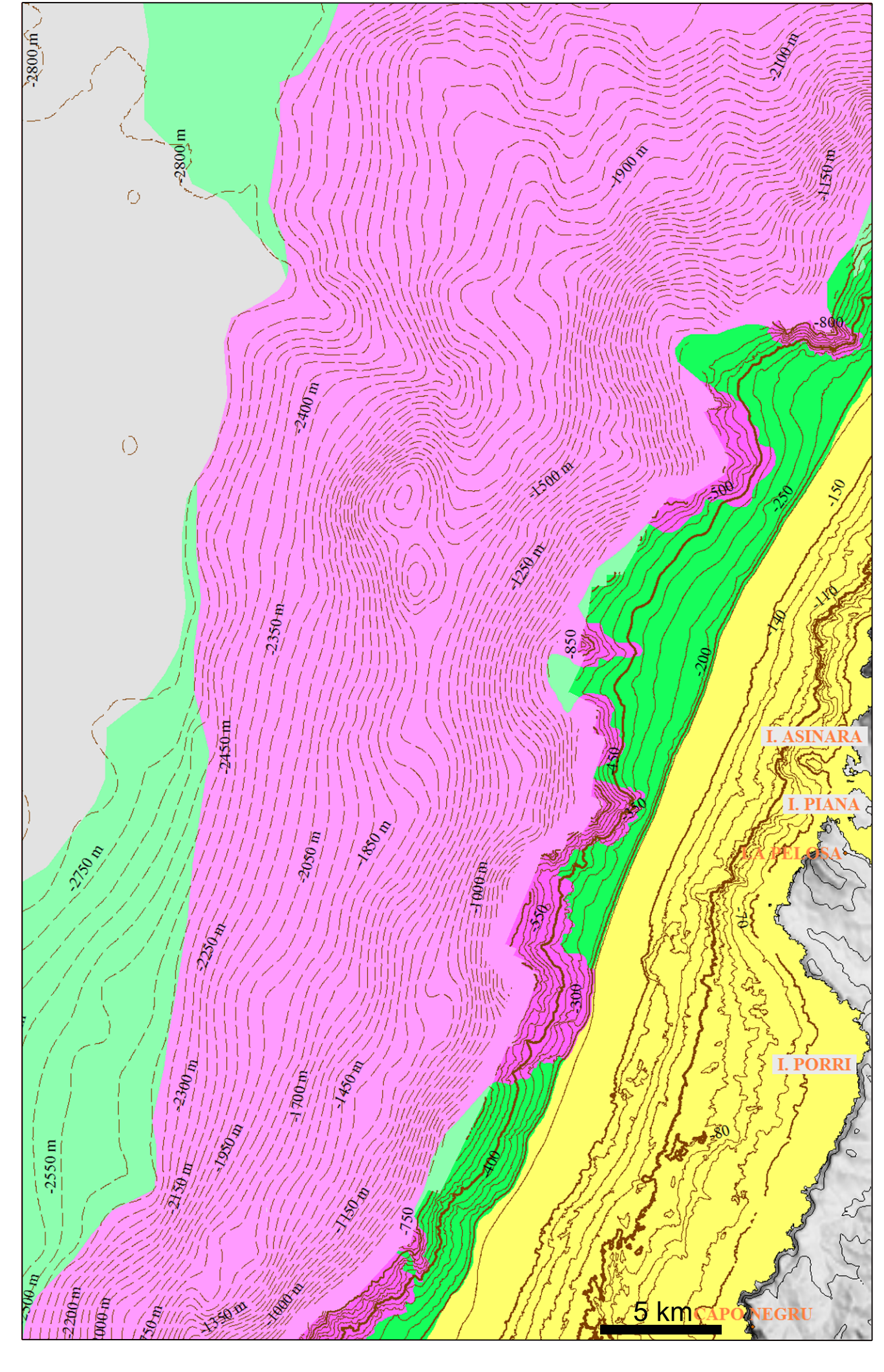


Limiti di utilizzabilità: La carta non rappresenta la distribuzione del rischio in quanto il progetto MaGIC è rivolto alla sola mappatura e individuazione degli elementi di pericolosità dei fondali marini. La definizione del rischio esiste degli scopi del progetto e non sono state eseguite indagini a tal fine. I punti di criticità sono stati individuati anche in funzione del tipo e della distribuzione (non omogenea nell'area) di dati sismici e di campionamento, raccolti in altri progetti scientifici. Essi, pertanto, segnalano in maniera non esaustiva e completa, situazioni potenzialmente critiche e meritevoli di attenzione. La carta non è utilizzabile per la navigazione.

Il progetto MaGIC (www.magicproject.it) è stato finanziato dal Dipartimento di Protezione Civile Nazionale e gestito dal Consiglio Nazionale delle Ricerche. Si è svolto nel periodo 2007-2013 e ha visto la partecipazione di tutti i gruppi di ricerca che si occupano di geologia marina in Italia: CNR (IAMC Napoli, IGAG Roma, ISMAR Bologna), Conisme (Università di Cagliari, Genova, Milano Bicocca, Palermo, Roma Sapienza, Sannio, Trieste) ed OGS (Trieste).

Alessandro Bosman: Responsabile progettazione e coordinamento delle attività geofisiche.
Domenico Ridente: Responsabile coordinamento ed omogeneizzazione delle interpretazioni dei dati.

Livello interpretativo 1: Dominii Fisiografici



Livello interpretativo 2: Unità Morfologiche

| | | | |
|--------------------------|------------------------------------|--|------------------------------|
| Canyon/Canali | Affioramento di Substrato Litotico | Area a Depositi di Frana Prevalenti | Lineamento Tettuccio |
| Frana Significativa | Area a Flussi non Canalizzati | Area a Depositi Conturcati Prevalenti | Area a Fuoriuscita di Fluidi |
| Area ad Erosione Diffusa | Area a Depressioni Prevalenti | Area a Depositi da Flussi Turbidi Prevalenti | Affioramento Vulcanico |
| | | | |

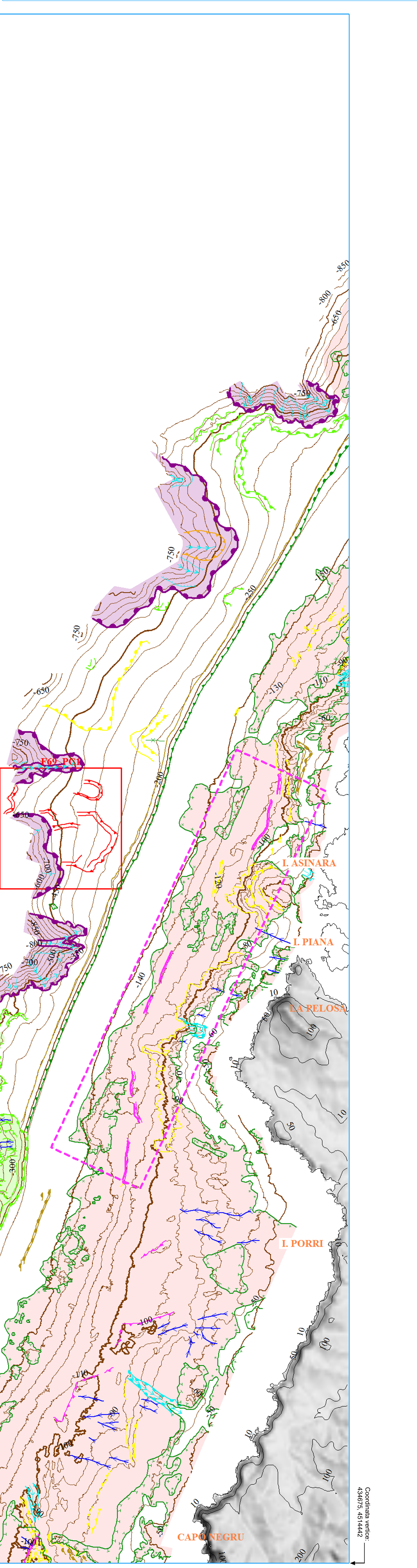
Livello interpretativo 3: Elementi Morfobatimetrici

| | | | |
|---|---|--|---|
| Scarpata Indefinita (Ciglio a spigolo vivo) | Scarpata Terrazzo intracanale (Ciglio) | Zona di traslazione di Frana | Substrato affiorante generico (Limite) |
| Scarpata Indefinita (Ciglio a spigolo tondo) | Scarpata Terrazzo intracanale (Base) | Dorsale piega di compressione (Asse) | Biocostruzione |
| Scarpata Indefinita (Base) | Scarpata Terrazzo intracanale (Base) | Canale a fondo concavo | Cratere |
| Scarpata Erosione generica (Ciglio a spigolo vivo) | Scarpata Erosione generica (Ciglio a spigolo tondo) | Solco erosivo | Caldera |
| Scarpata Erosione generica (Ciglio a spigolo tondo) | Scarpata Erosione generica (Base) | Area a Pockmark (Limite) | Cono eruttivo |
| Scarpata Erosione generica (Base) | Scarpata Piattaforma continentale (Ciglio a spigolo vivo) | Area a Pockmark (Limite) | Fessura di alimentazione |
| Scarpata Piattaforma continentale (Ciglio a spigolo tondo) | Scarpata Piattaforma continentale (Ciglio a spigolo tondo) | Colata lavica (Limite) | Dicco |
| Scarpata Piattaforma continentale (Base) | Scarpata Terrazzo depositionale (Ciglio a spigolo vivo) | Duna | Hummocky vulcanici (Limite) |
| Scarpata Terrazzo depositionale (Ciglio a spigolo tondo) | Scarpata Terrazzo depositionale (Ciglio a spigolo tondo) | Barcana | Pockmark |
| Scarpata Canyon/Canale (Ciglio a spigolo vivo) | Scarpata Canyon/Canale (Ciglio a spigolo vivo) | Area a Barcane | Vulcano di Fango |
| Scarpata Canyon/Canale (Ciglio a spigolo tondo) | Scarpata Canyon/Canale (Ciglio a spigolo tondo) | Area a Megaripple (Limite) | Centro Eruttivo |
| Scarpata Canyon/Canale (Base) | Scarpata Canyon/Canale (Base) | Area a Megaripple (Limite) | Diapiro di Fango |
| Scarpata Canyon/Canale (Base) | Scarpata Nicchia di Frana semplice (Ciglio) | Onda di sedimento (Asse) | Blocco Stratificato |
| Scarpata Nicchia di Frana semplice (Ciglio) | Scarpata Nicchia di Frana semplice (Ciglio) | Area deposito flusso gravitativo non canalizzato | Blocco |
| Scarpata Nicchia di Frana semplice (Base) | Scarpata Nicchia di Frana semplice (Base) | Rilievo di origine incerta | Emissione Termali |
| Scarpata Nicchia di Frana complessa (Ciglio) | Scarpata Nicchia di Frana complessa (Ciglio) | Depressione di origine erosiva | Substrato affiorante vulcanico (Limite) |
| Scarpata Nicchia di Frana complessa (Base) | Scarpata Nicchia di Frana complessa (Base) | Depressione di origine erosiva | |
| Scarpata Nicchia di Frana intricata (Ciglio) | Scarpata Nicchia di Frana intricata (Ciglio) | | |
| Scarpata Nicchia di Frana intricata (Base) | Scarpata Nicchia di Frana intricata (Base) | | |
| Scarpata Superficie gibbosa (Limite) | Scarpata Superficie gibbosa (Limite) | | |
| Scarpata Superficie a blocchi (Limite) | Scarpata Superficie a blocchi (Limite) | | |
| Scarpata Superficie a blocchi (Limite) | Scarpata Superficie a blocchi (Limite) | | |
| Scarpata Superficie a flessure di trazione (Limite) | Scarpata Superficie a flessure di trazione (Limite) | | |
| Scarpata Superficie a flessure di trazione (Limite) | Scarpata Superficie a flessure di trazione (Limite) | | |
| Scarpata Creep (Limite) | Scarpata Creep (Limite) | | |

Livello interpretativo 4: Punti di Criticità

Rettangoli rossi in campo carta, descrizione nelle Note a Compendio.

F69_P1: Frane Stretto di Fornelli



F69

Coordinate vertice:
398674, 4569442

Coordinate vertice:
434675, 4514442

0 km 5 km